

# *Mesure des Déformations Co-Sismiques par Imagerie Spatiale*

- 
- Introduction
  - Méthodologie, performances et limitations
  - Résultats

Renaud Binet, Rémi Michel

Département Analyse et Surveillance de l'Environnement  
Laboratoire de Détection et de Géophysique  
Télédétection et Surveillance de l'Environnement  
[renaud.binet@cea.fr](mailto:renaud.binet@cea.fr)

# Problèmes liés aux mesures de terrain

cea

- Glissement distribué
  - Sous-estimation du glissement
- Absence de marqueur
  - Mauvaise géométrie de la faille
- Marqueur datant d'un séisme antérieur
  - Sur-estimation du glissement



# Apport de l'imagerie spatiale

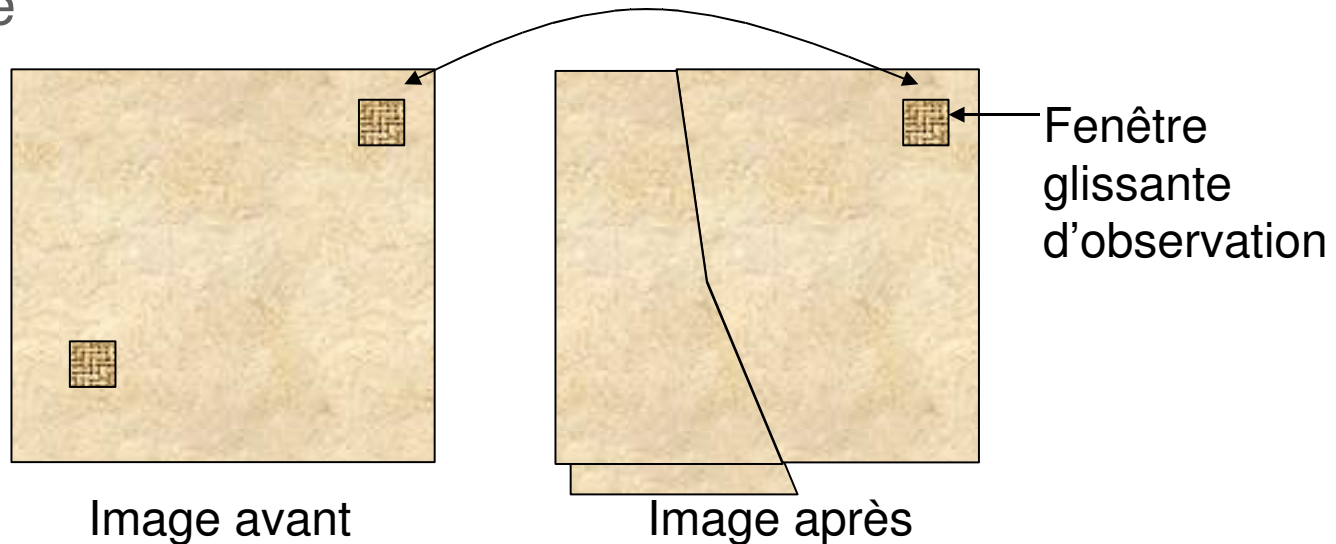


- Imagerie grand champ
- Comparaison de l'image de crise avec une image d'archive
  - Visible
    - Géomorphologie
    - Comparaison de la géométrie (déplacement horizontal)
    - Quantification des dégâts
  - Radar (InSAR)
    - Comparaison de la phase des images (déplacement plutôt vertical)
    - Comparaison de la géométrie (déplacement horizontal)
    - Mesure de la cohérence

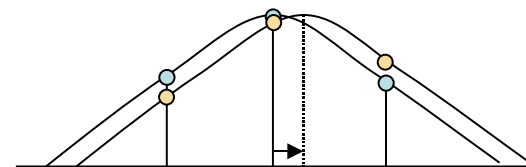
Mesure d'un déplacement relatif intégré  
sur plusieurs kilomètres

# Principe de la mesure

- Comparer la géométrie des images avant et après le séisme

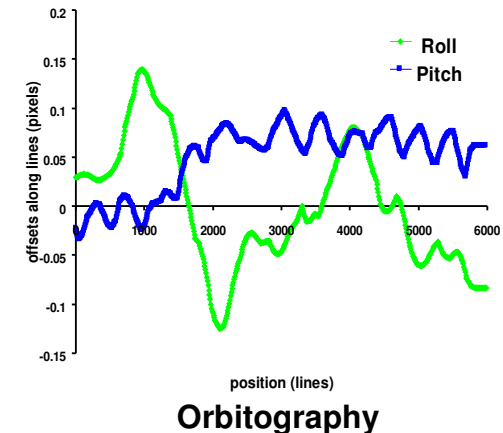
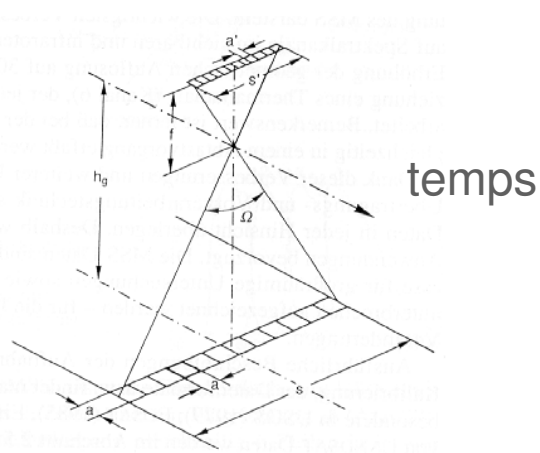
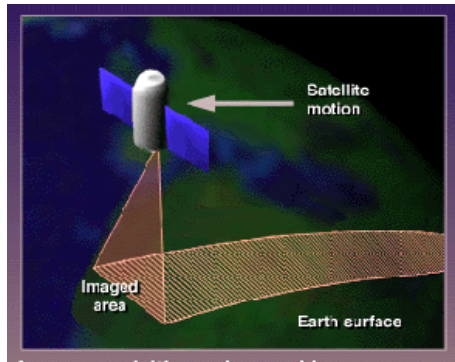


- Mise en géométrie commune
- Mesure de similarité des images basée sur la radiométrie
  - Mesure sub-pixel
  - Critères
    - Ressemblance des images
    - Qualité radiométrique
    - Richesse spectrale de l'image

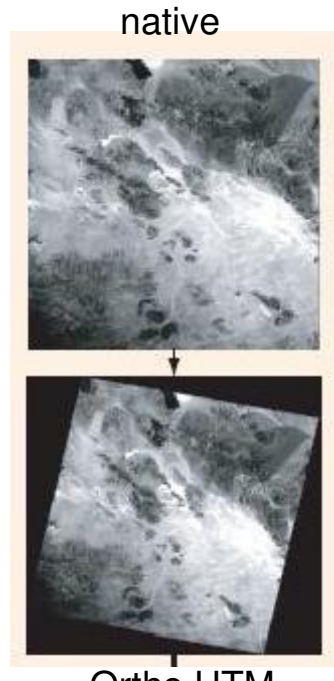


# Corrections géométriques des images pushbroom

cea



- Géométrie native des images dépend de
  - Orbite et attitude (Roulis, Tangage, Lacet) du satellite
  - Géométrie du plan focal
  - Élévation terrain (MNT)
- Choix d'un référentiel géométrique commun
  - Orthorectification en UTM
  - Re-échantillonnage de l'image 2 dans la géométrie de l'image 1

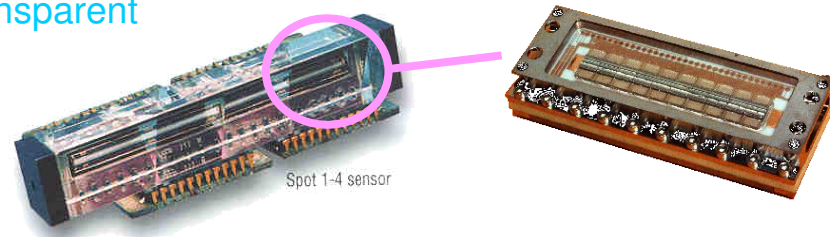
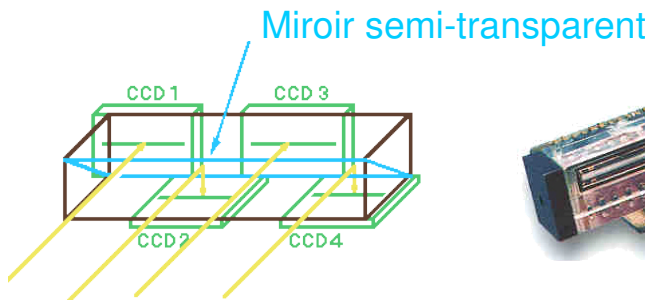


# Plan focaux des systèmes SPOT

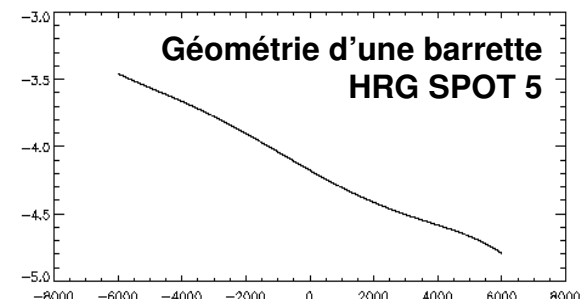
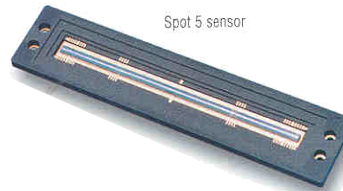
cea

## SPOT 1234 DIVOLI

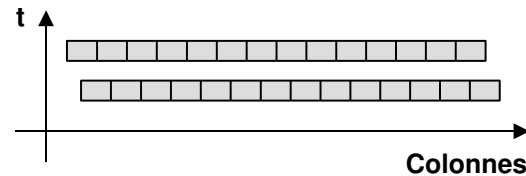
Précision de calage  
des barrettes : 0.1  
pixel



## SPOT 5 HRG



## SPOT 5 THR



$$5m + 5m = \sim 2.5m$$

2 barrettes HRG avec décalage de 0.5 pixel.

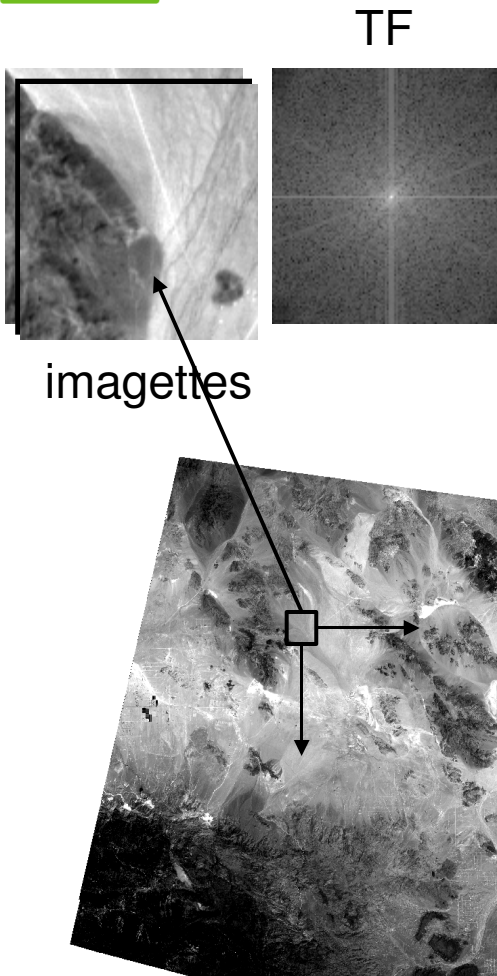
Échantillonnage idéal au sens de Shannon

# Mesures de similarité par corrélation sub-pixel : principe

cea

$$I_2(c, l) = I_1(c + u_0, l + v_0)$$

$$TF(I_2) = TF(I_1) \cdot e^{2i\pi(w_c u_0 + w_l v_0)}$$

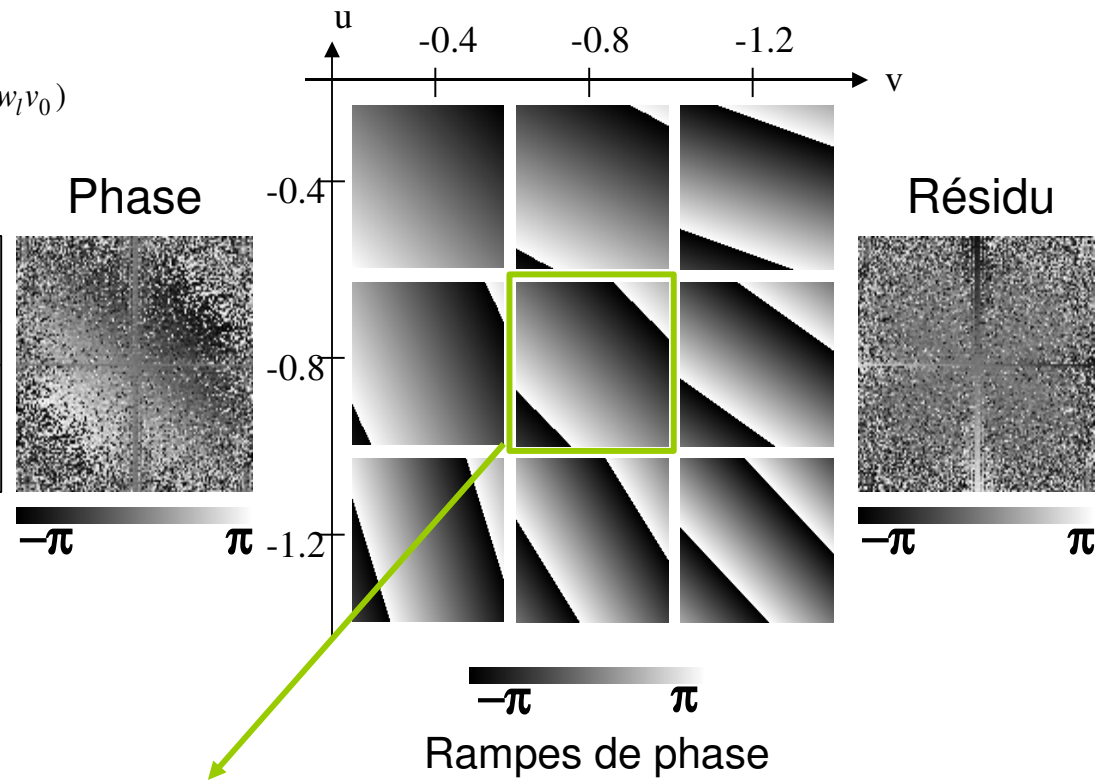


TF

Masque

Phase

Résidu



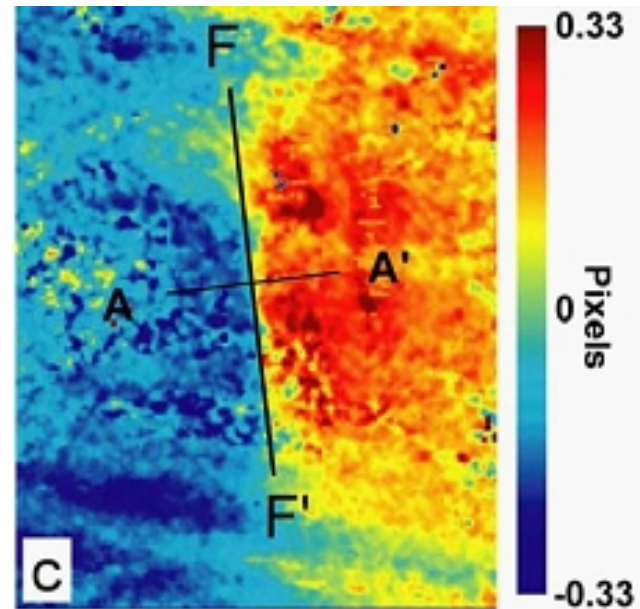
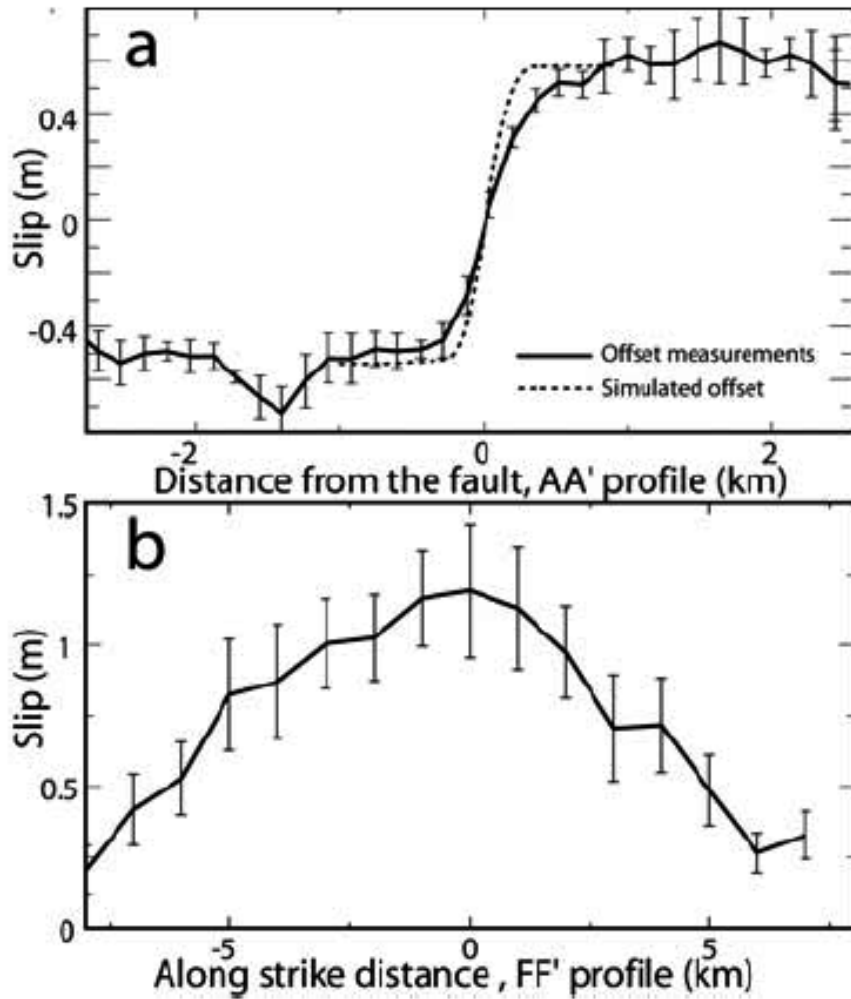
$$(u, v) = \underset{(u_o, v_o)}{\operatorname{Arg}} \left( \max \left| \sum_{mask} \exp[i \cdot \Phi] \cdot \exp[-2\pi i \cdot (w_c \cdot u_o + w_l \cdot v_o)] \right| \right)$$

$$snr = \left| \sum_{mask} \exp[i \cdot \Phi] \cdot \exp[-2\pi i \cdot (w_c \cdot u + w_l \cdot v)] \right|$$

# Un exemple

- Séisme de BAM, Iran :  $M_w=6.5$

ce



Composante Nord-Sud

2 images SPOT5 THR

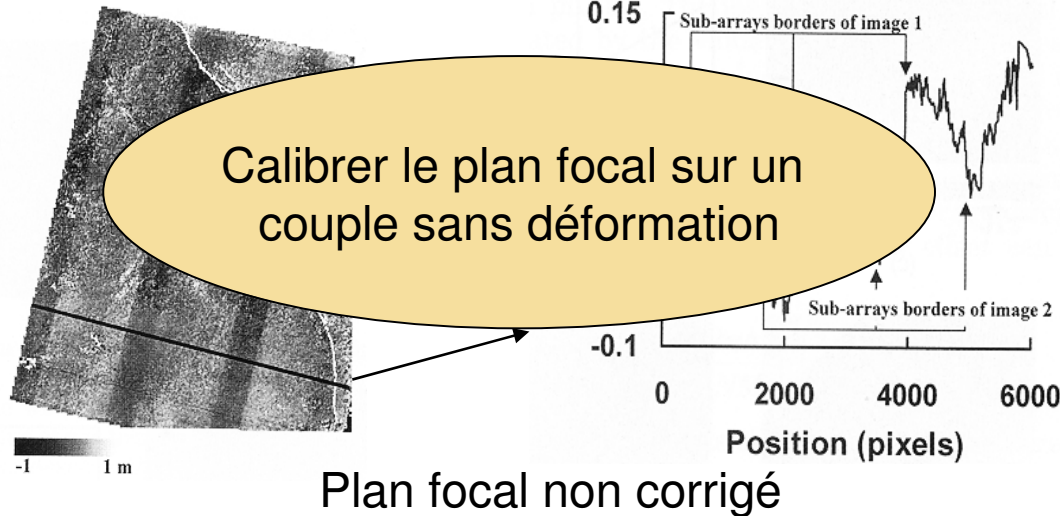
2.5 m de résolution

Faillle invisible sur le terrain

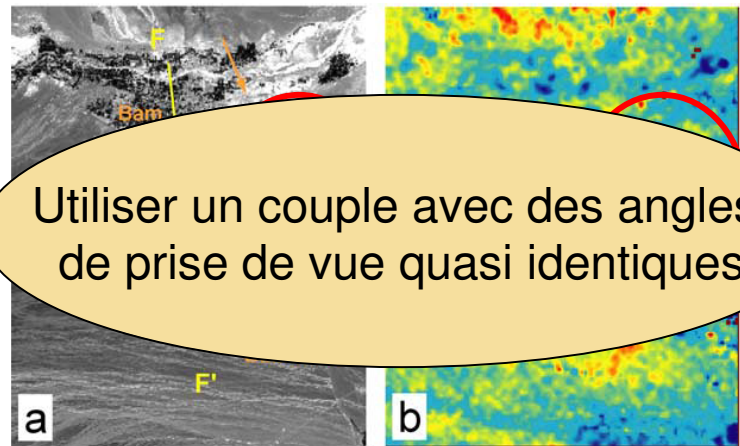
Binet&Bollinger (2005), Horizontal coseismic deformation of the 2003 Bam (Iran) earthquake measured from SPOT-5 THR satellite imagery, Geophys. Res. Lett., 32, L02307.

# Effets indésirables

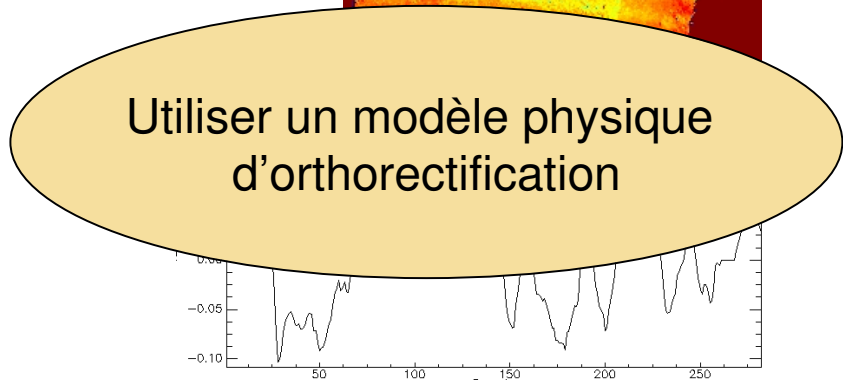
cea



Décalage des barrettes mesuré sur l'image de disparité : ~0.1 pixel



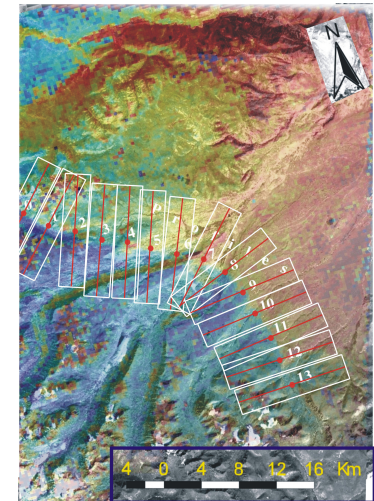
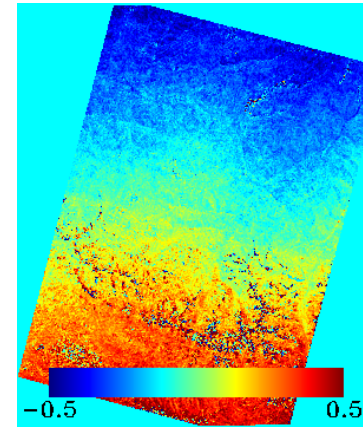
MNT non représentatif



Microvibrations du satellite mal compensées

# Limitations

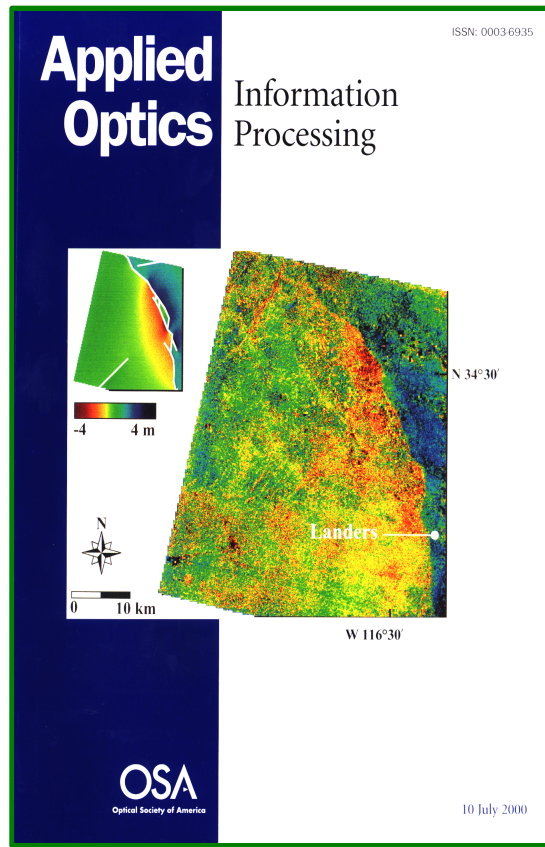
- Attitude du satellite mal contrainte : nécessite d'optimiser la prise de vue (Roulis, Tangage, Lacet, + dérives temporelles) à l'aide de points d'amers
  - Biais basses fréquences (plan)
  - Mesure du glissement non affecté mais inversion du mécanisme au foyer délicate
    - Complémentaire avec les mesures InSAR
- MNT imprécis
- Changements
  - Fenêtre de corrélation de taille adaptative
    - Corrélation = mesure de confiance
  - Stack des mesures
- Aliasing souvent présent dans les images
  - Biais sur mesure de corrélation (0.05 pixel max)



## Quelques résultats ...

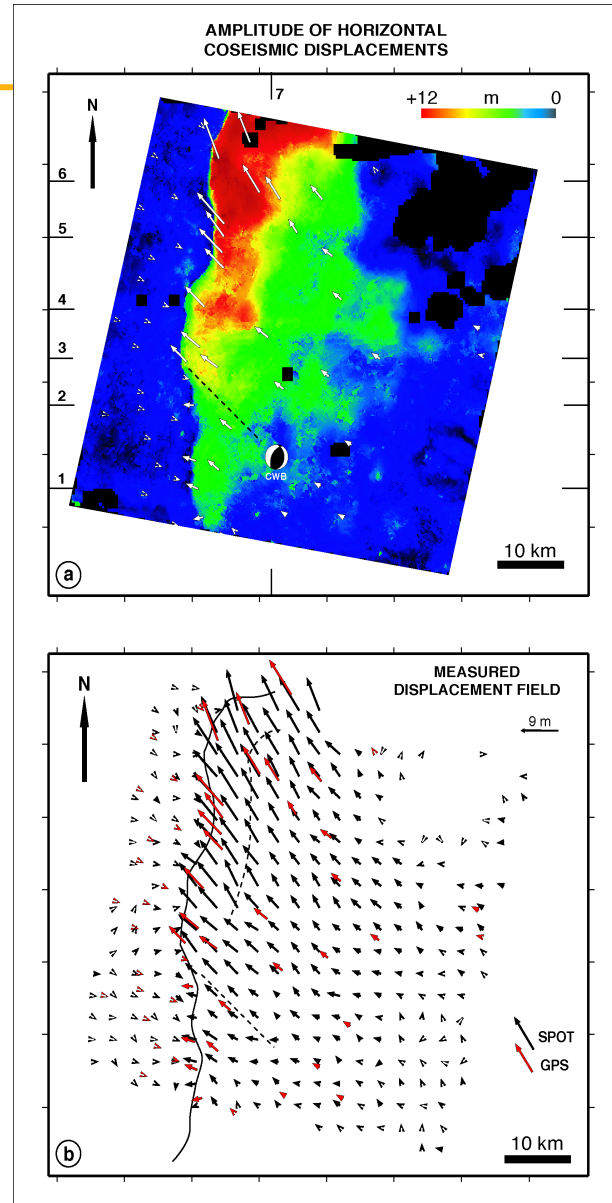
# SPOT 1234

cea



## Landers

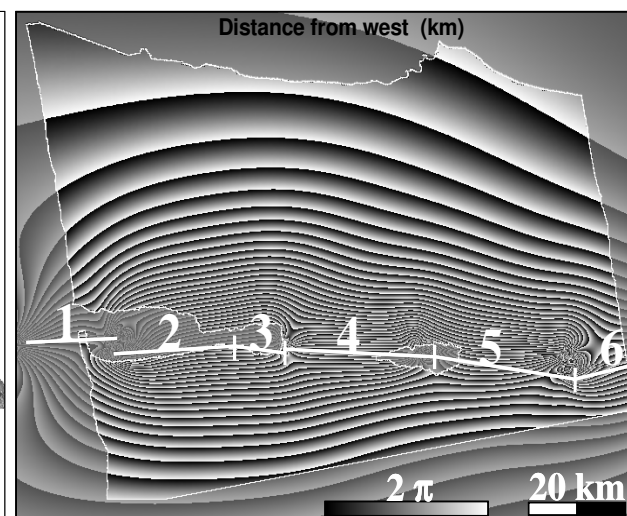
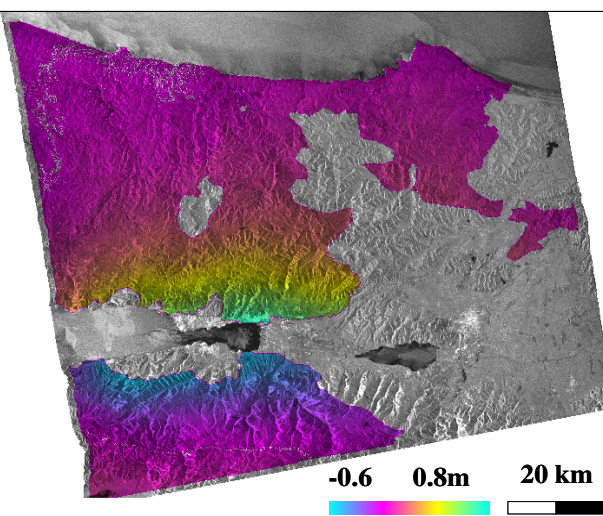
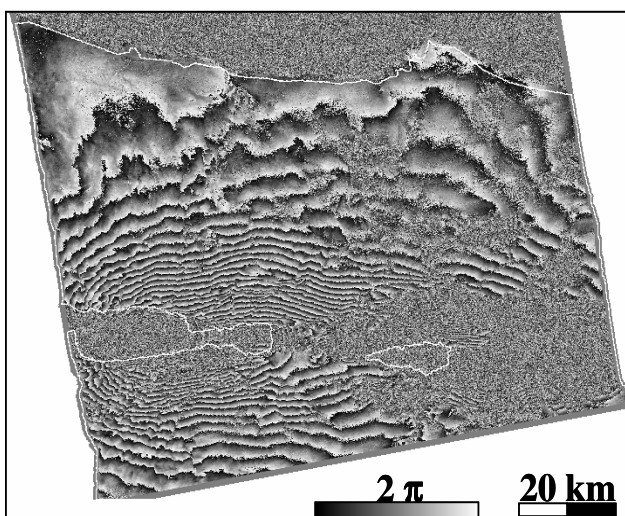
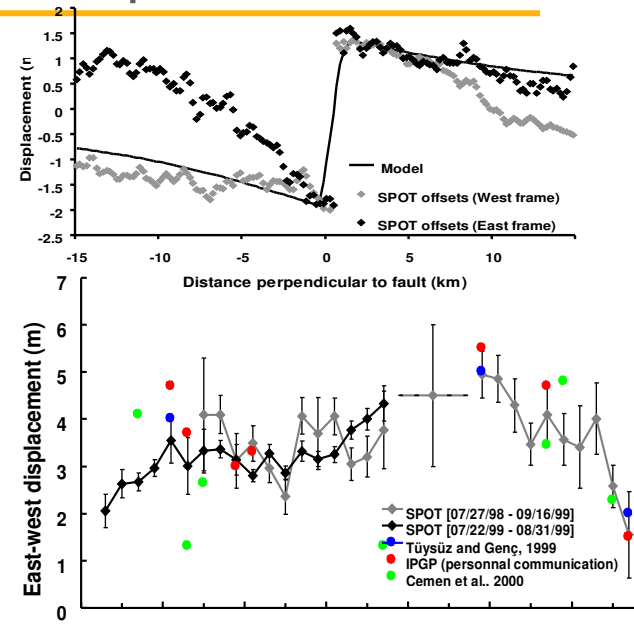
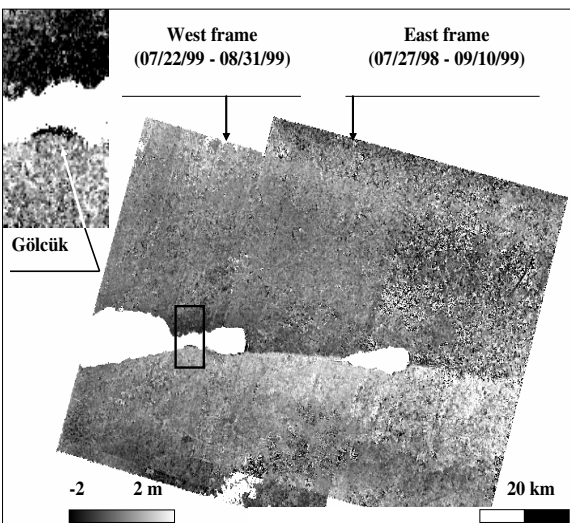
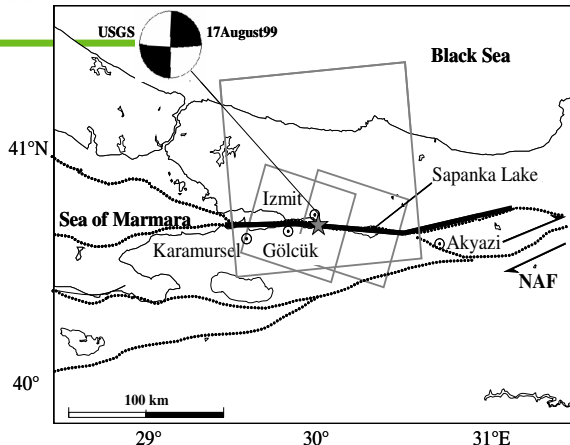
Michel, Van Puymbroeck, Binet



**Chi-Chi, (Taiwan), 1999**  
Michel, Dominguez, Avouac

# Etude de cas : Izmit, 1999, $M_w$ 7.6, Turquie

cea

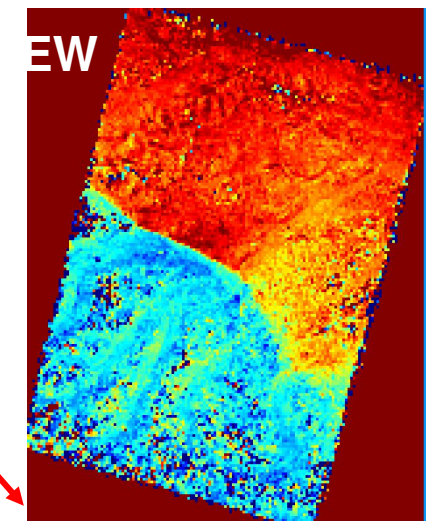
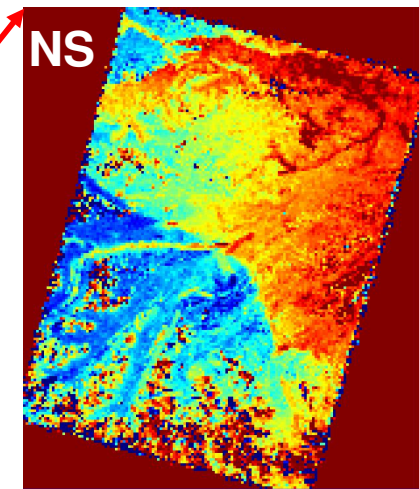
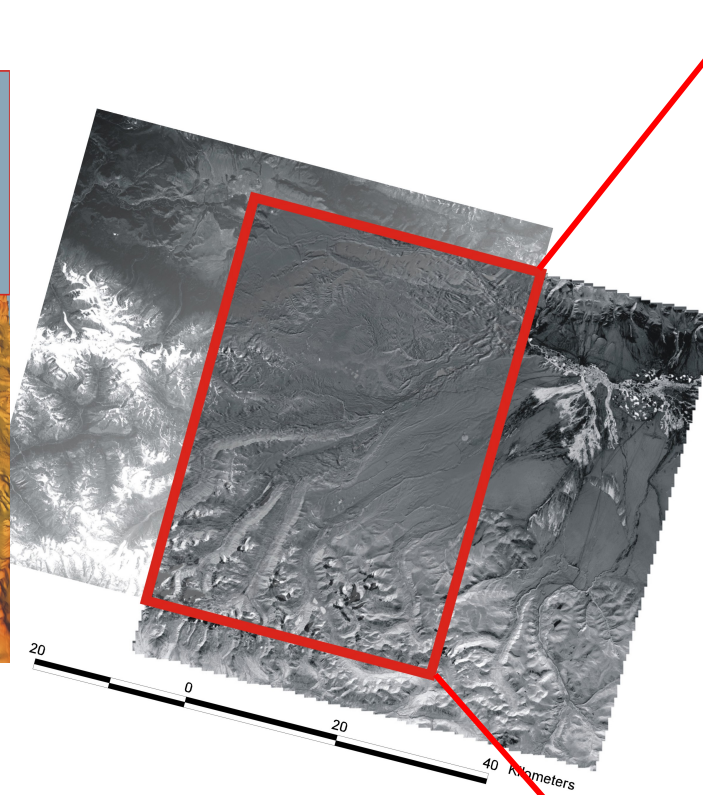
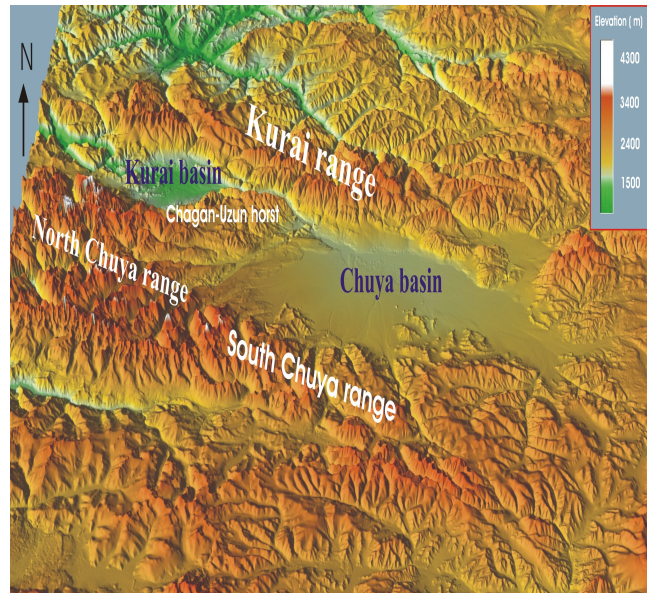


Le signal interférométrique est généralement saturé et très bruité à moins d'un kilomètre des ruptures cosismiques de surface. Les artefacts aux grandes longueurs d'ondes spatiales limitent l'exploitation de la corrélation optique aux échelles inférieures au kilomètre. La complémentarité naturelle des mesures conduit à une description détaillée de la déformation cosismique [65].

# Results from Binet, Munkhuu and Schlupp on Chuya EQ

## Spot 5 Panchromatic image (ground resolution – 5 m)

cea

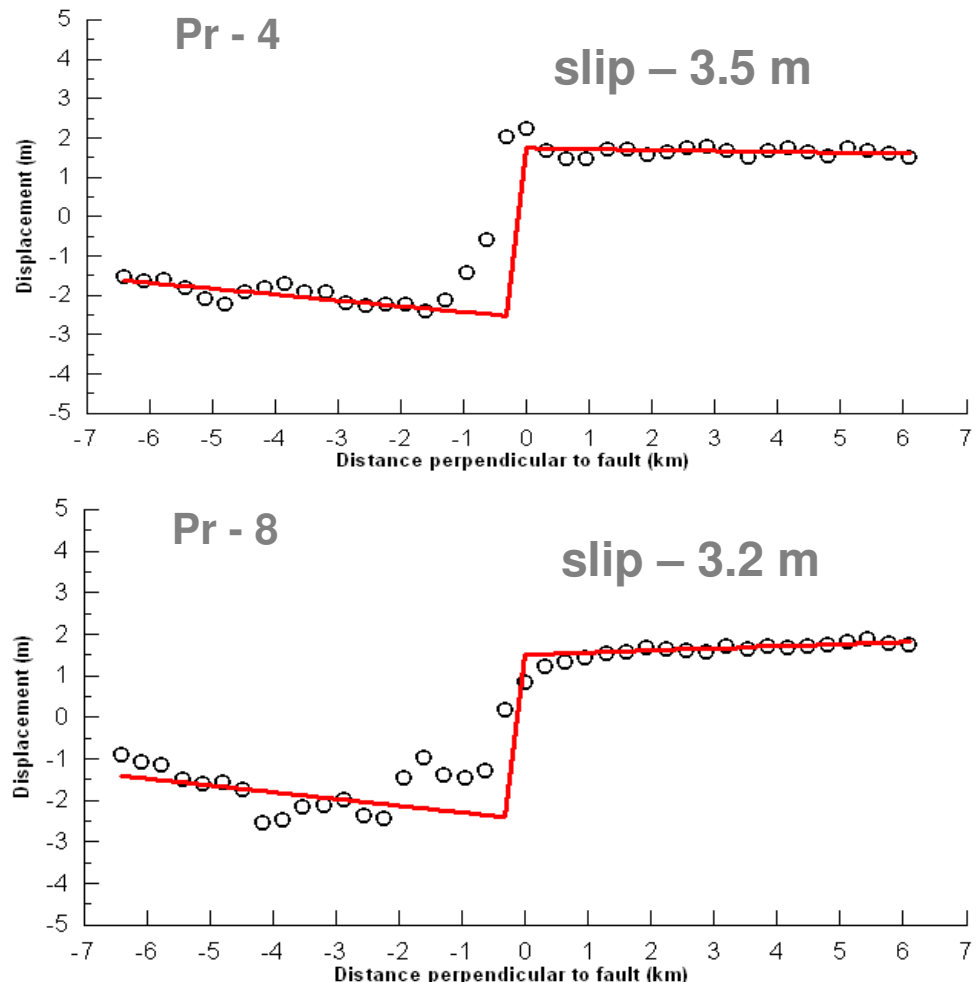
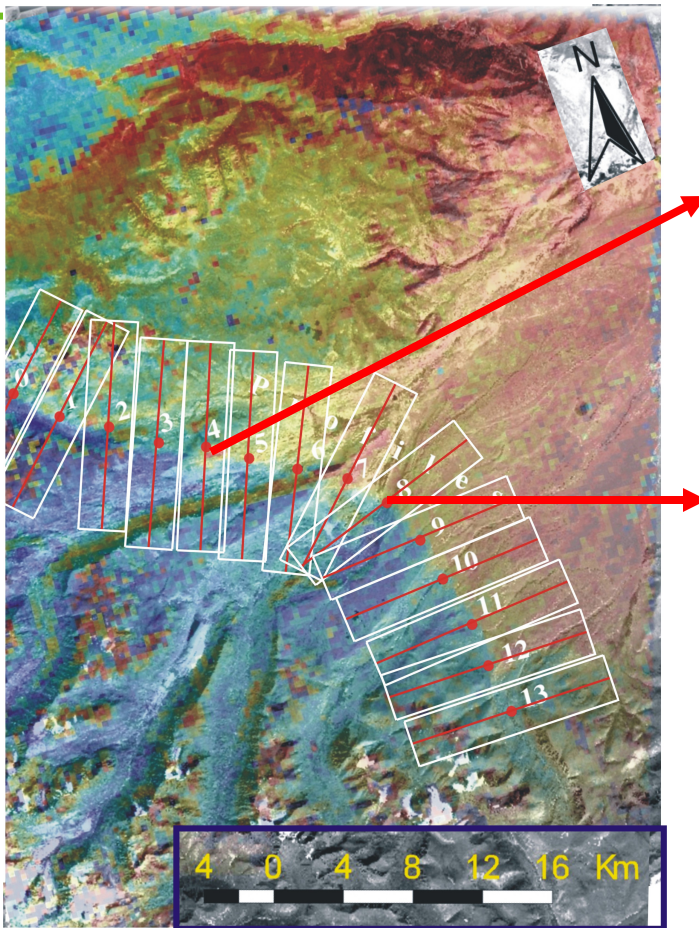


- Fault non visible on the SPOT image
- No data at the west part before the EQ (partial observation)
- Clear horizontal slip by spot correlation and clear position of the deformation
- Possible deformation at N ?

# Result of SPOT 5 subpixel correlation

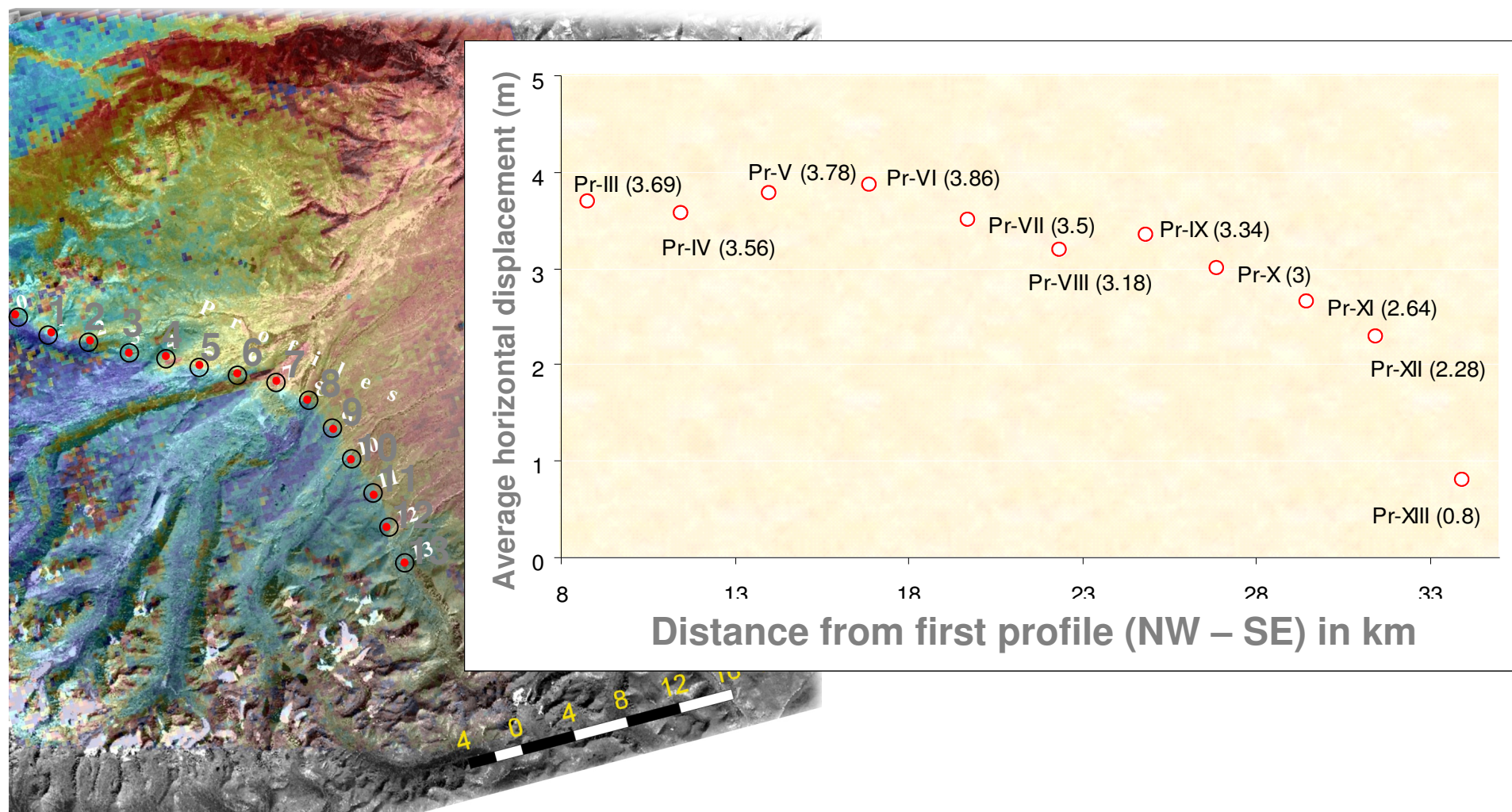
Profiles are perpendicular to the fault strike, by stacking all data along 3 km wide swaths. Displacements are horizontal

cea



SPOT Panchromatic (5 m resolution) after the EQ + NS correlation results

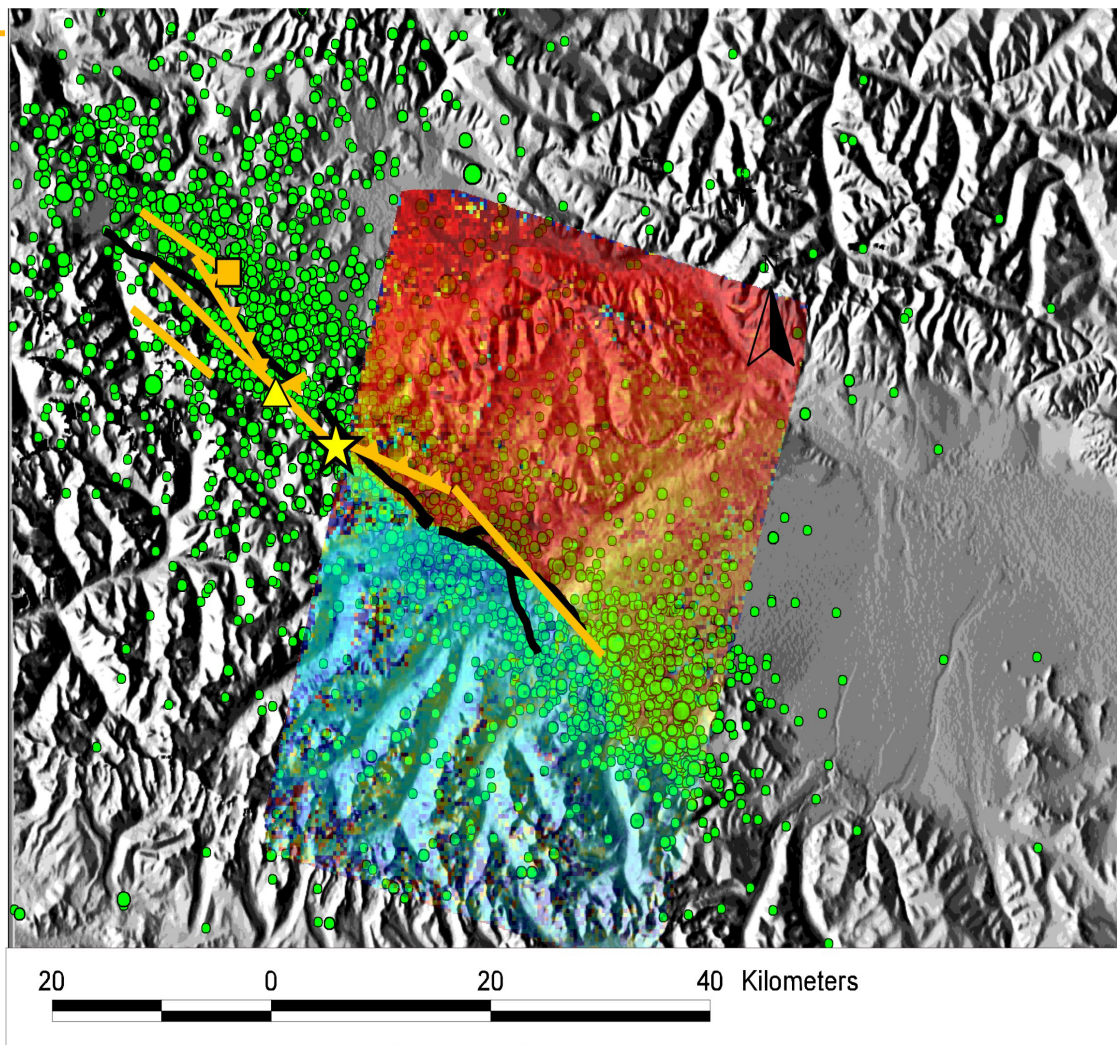
# Horizontal displacements by subpixel correlation of Spot image along the south eastern surface rupture of Chuya earthquake



The horizontal slip is at least **two time larger** than the one observed along surface ruptures on the field (1.5 m)  
Profile 13 - almost no motion (0.8 m) which can consider end of rupture  
The deformation is also spread over a large distance from the fault.

# Final results of study Chuya earthquake sequence

cea



- ★ Mainshock  
Mw = 7.2
- ▲ Aftershock with  
Mw = 6.4
- Aftershock with  
Mw = 6.9
- Aftershock sequence
  - M < 2.0
  - M - 3.0
  - M - 4.0
  - M - 5.0
- ↗ Observed surface  
rupture
- ↗ Modelled surface  
rupture
- Spot correlation

**Field observation**  
Length ~ 60 km  
Displacement – 1.5 m

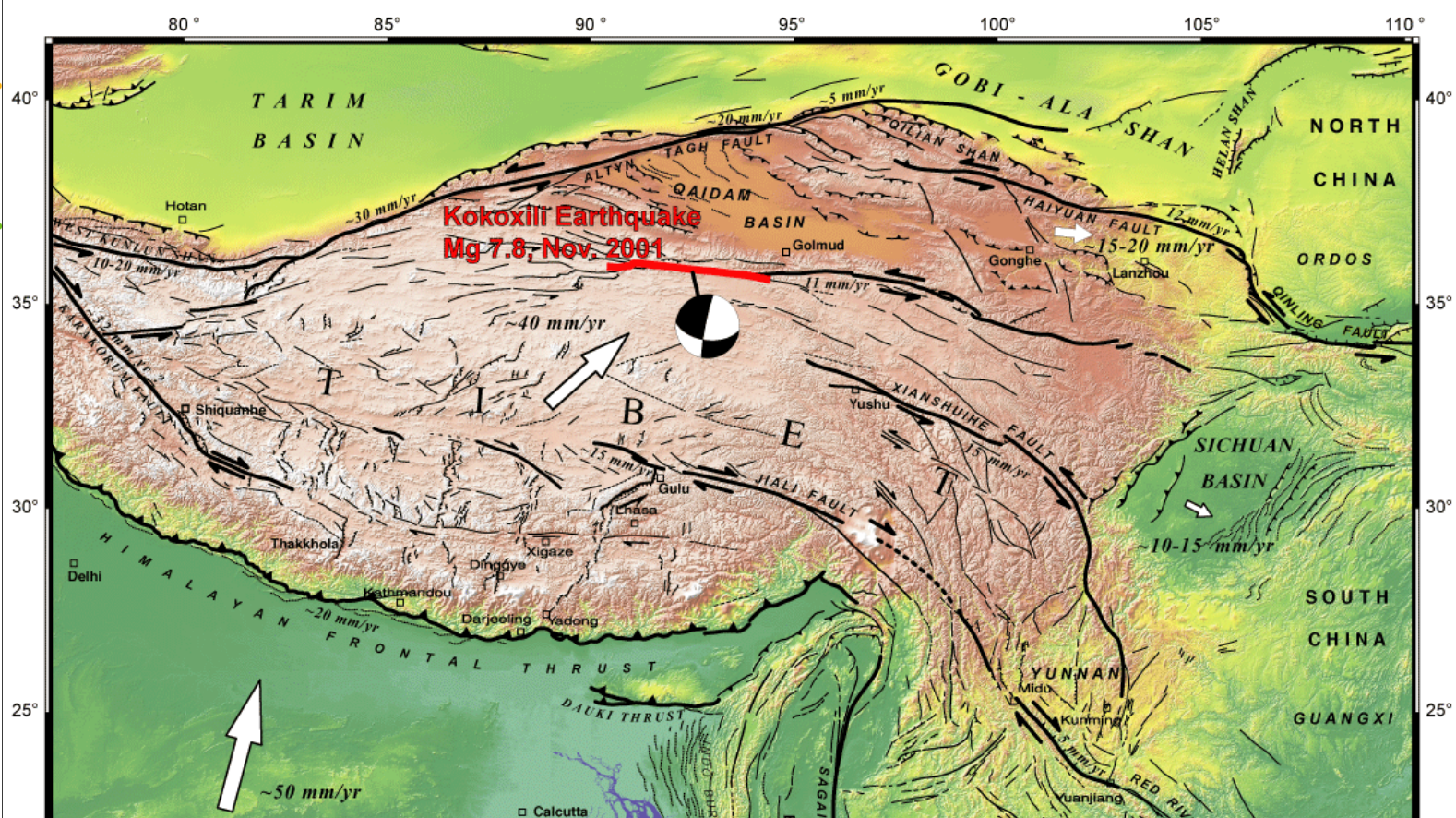
**Spot correlation**  
Trend – well corr. (SE part)  
Displacement 2.2-3.8 m

**Aftershock**  
Trend – well corr  
Length – 90 km

**Body wave inversion**  
Length ~70 km  
Displacement – 2.8 m

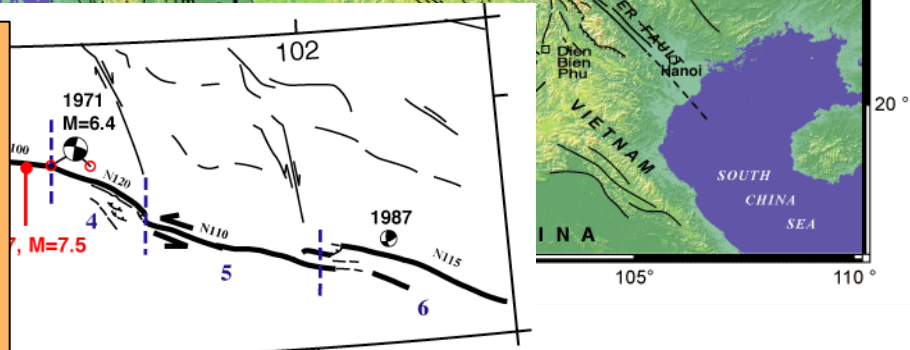
# Results from Klinger (IPGP) & Michel (CEA)

cea



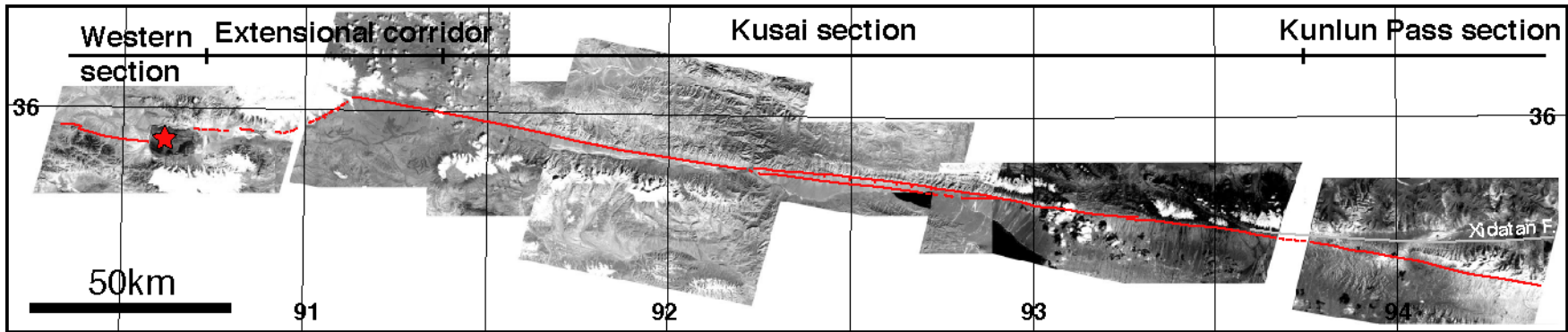
## The Kokoxili Eq. rupture

- a rupture of ~450km in total
- at mean elevation of 4500m

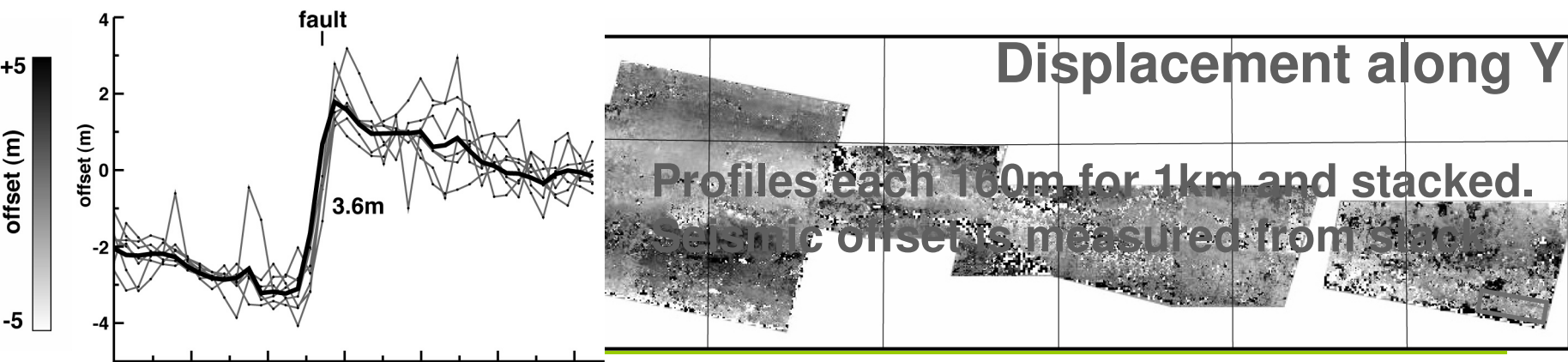
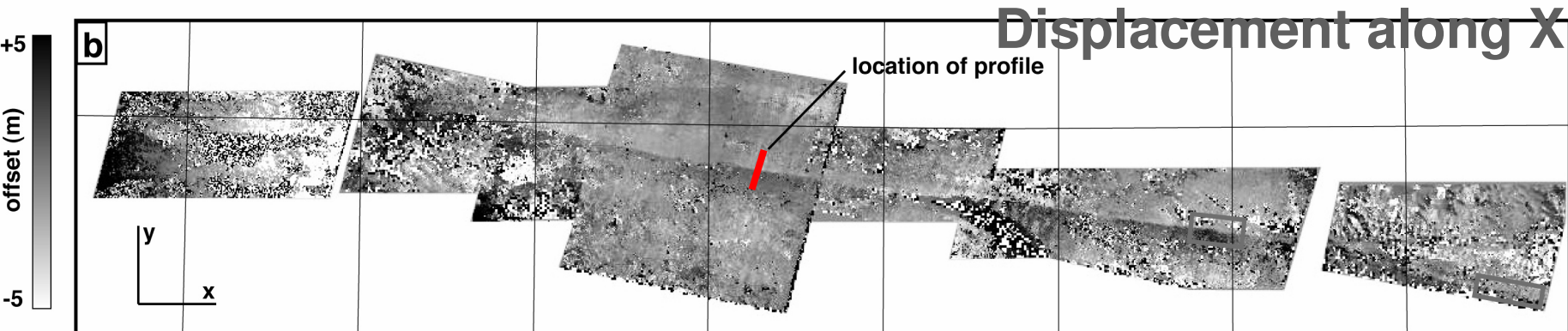
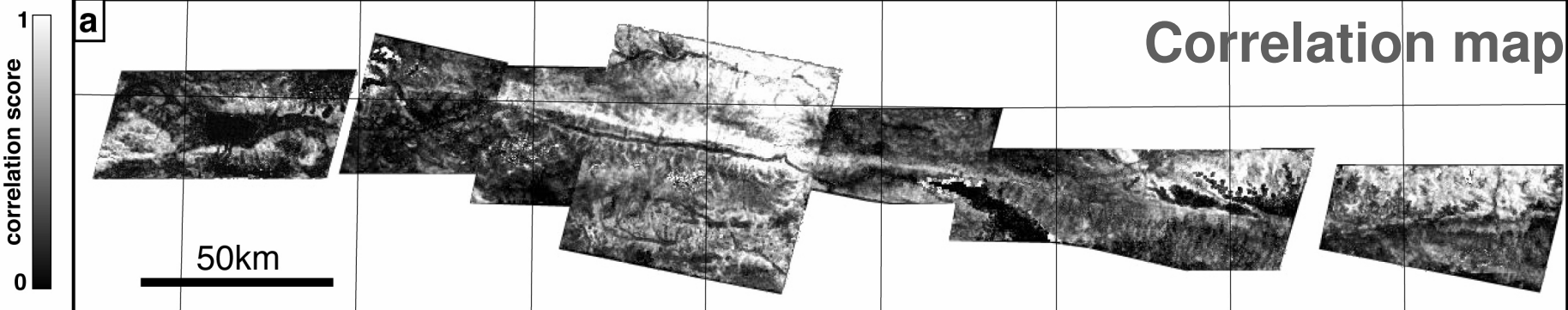


# Detailed slip-curve from offset of optical images

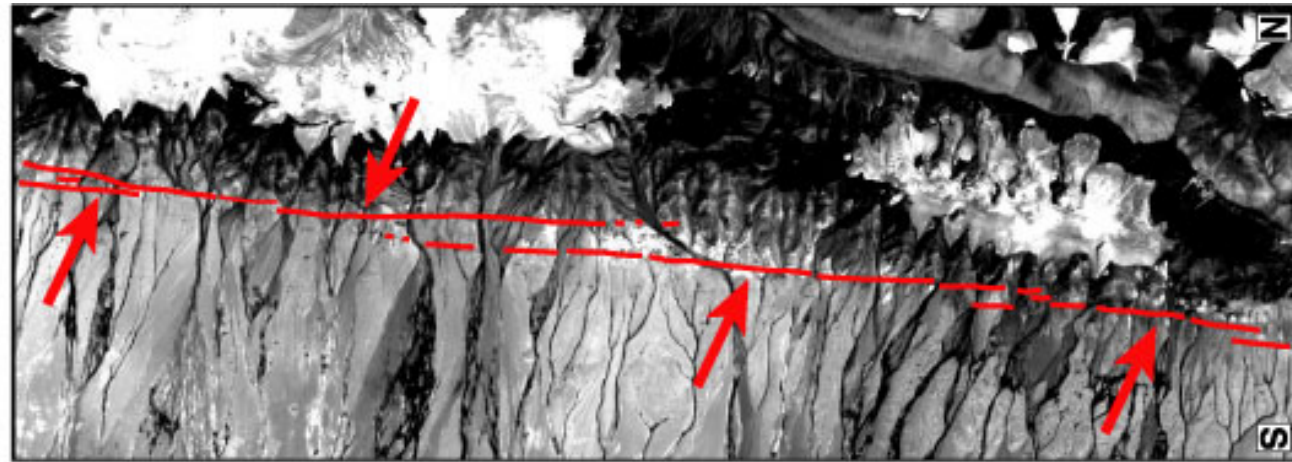
cea



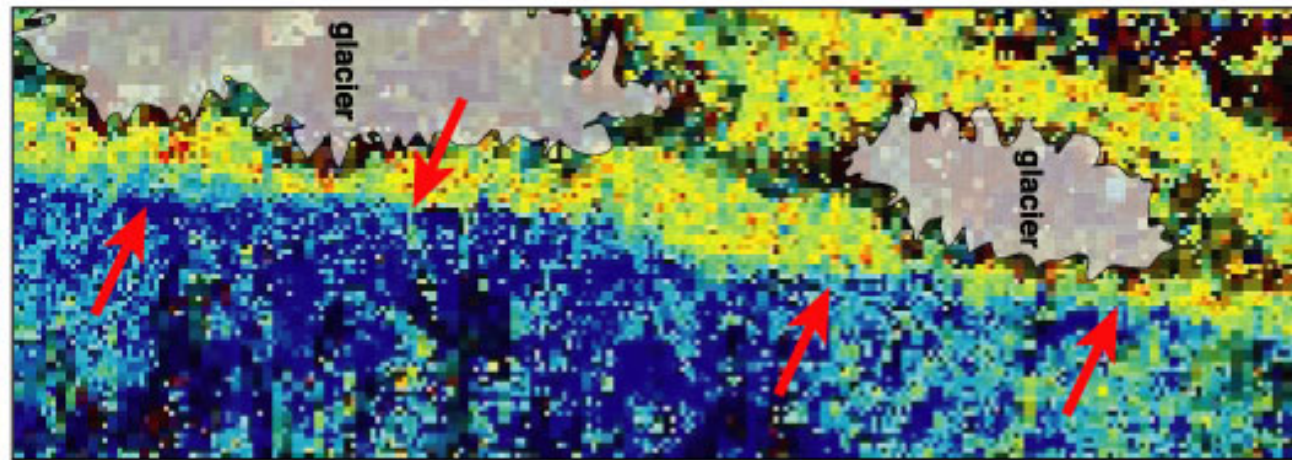
The Kokoxili earthquake rupture is covered by 8 pairs of images



5km

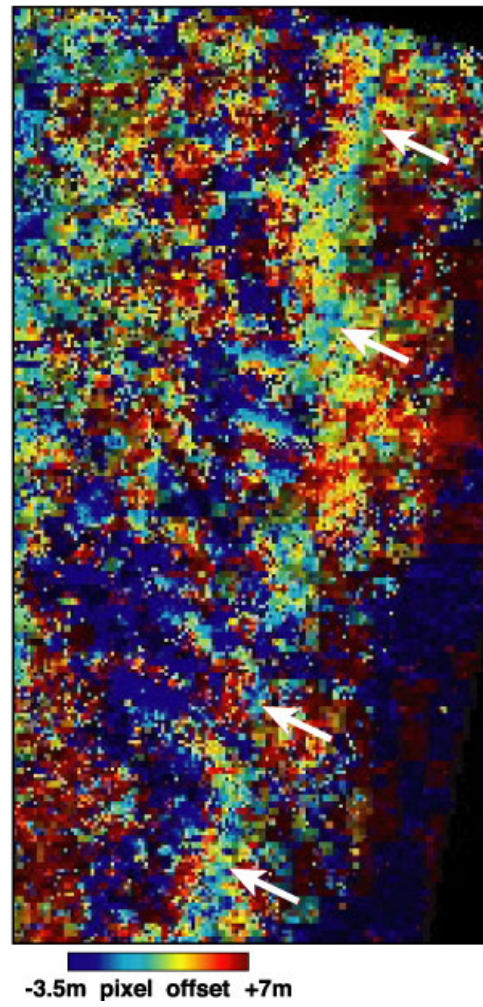
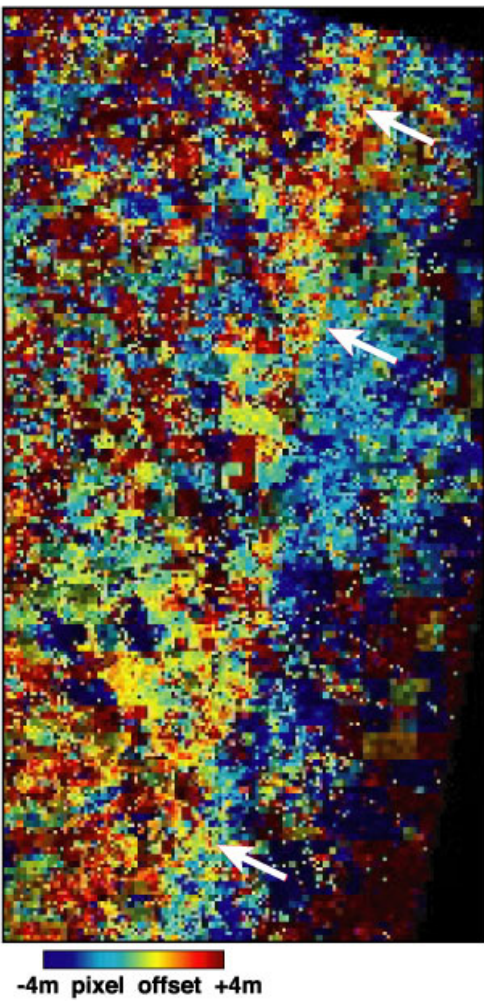
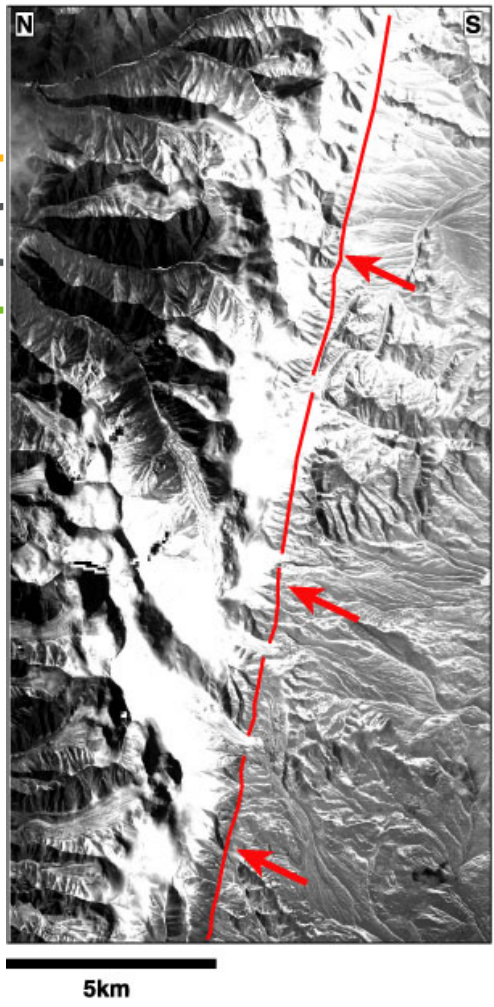


A)

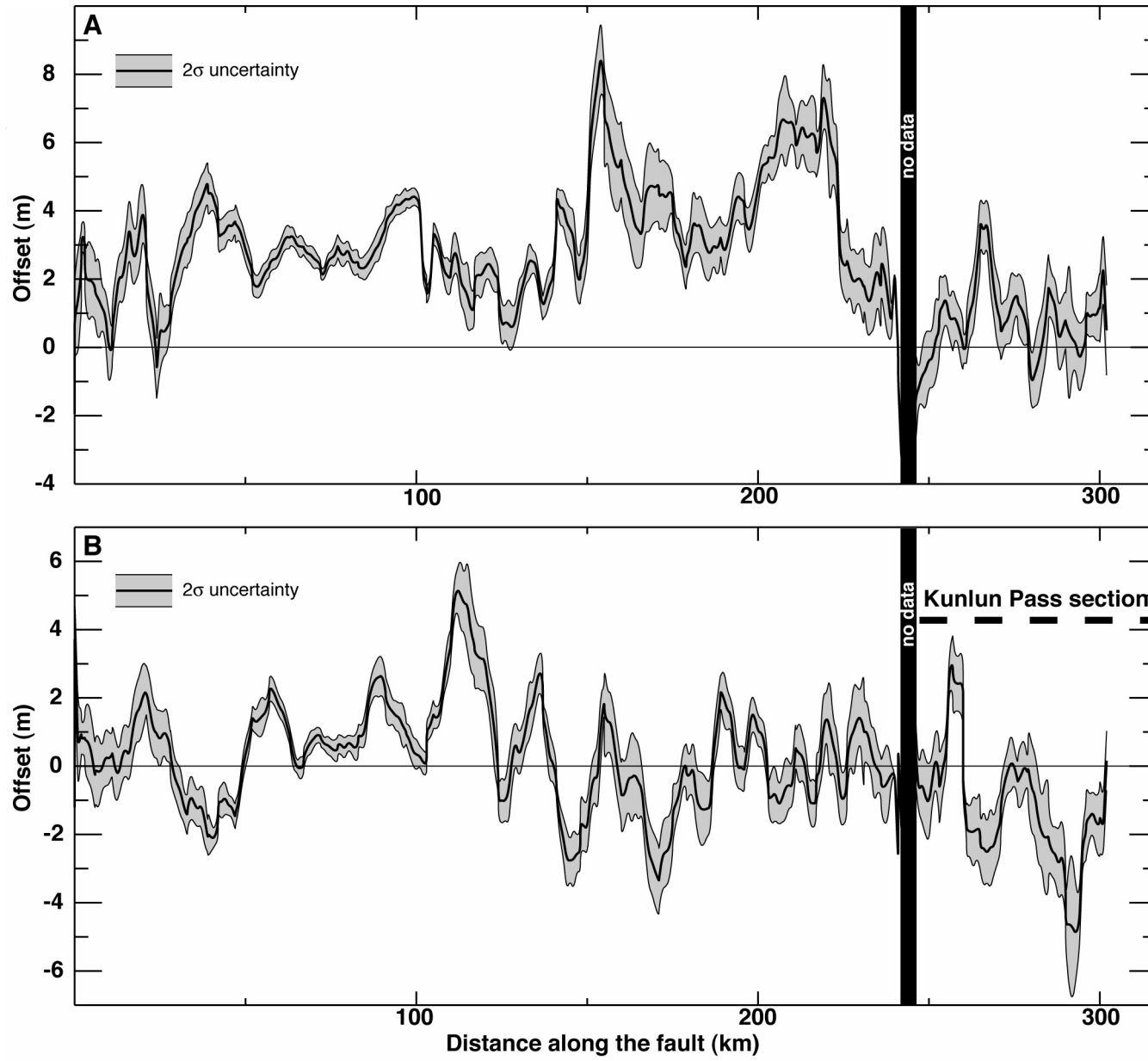
 $-6\text{m}$  pixel offset  $+6\text{m}$ 

B)

**Detail of the offset map.  
The compressive jog is clearly visible.**



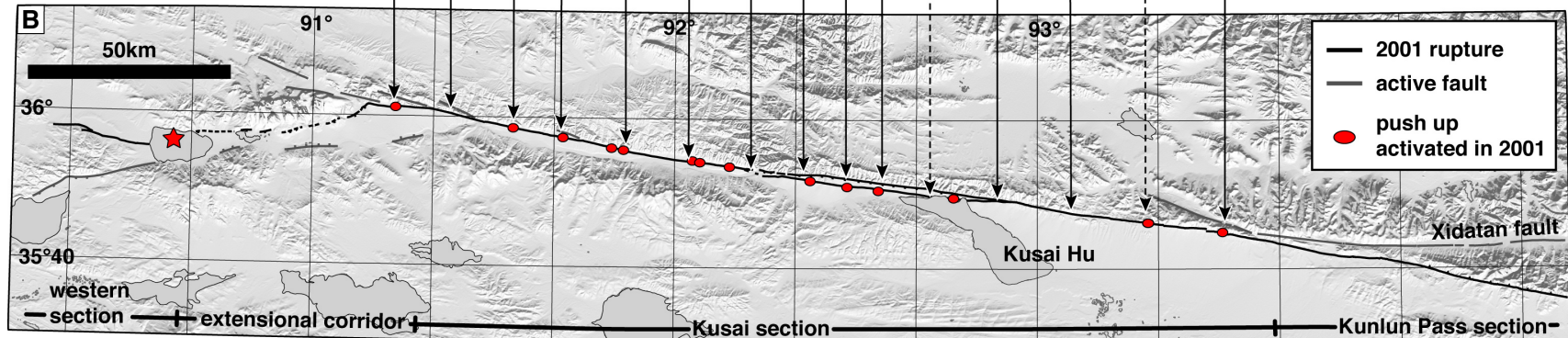
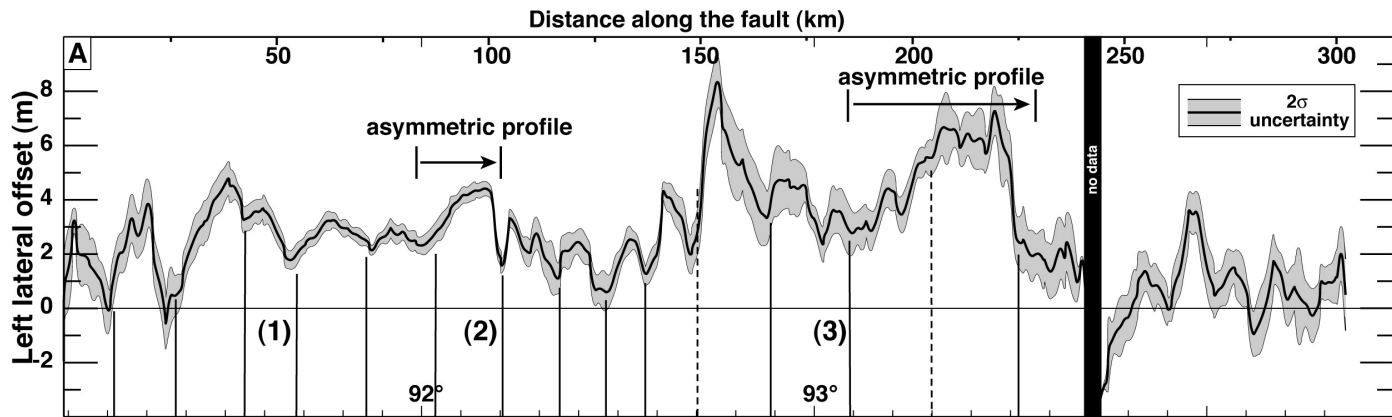
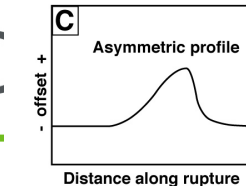
Large vertical motion is visible on the horizontal component of motion perpendicular to the fault



Component parallel to the fault

Component perpendicular to the fault

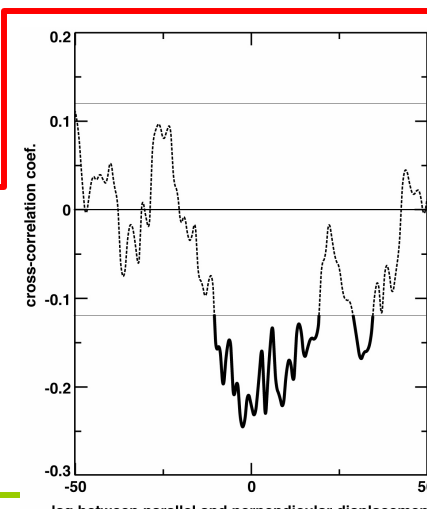
— offset +  
— offset -



(Klinger et al., EPSL 2006)

Fluctuations of the slip curve correlate  
with geometrical barriers along the rupture

Anti-correlation of the two horizontal components  
advocates for distribution of the motion on  
multi-scale and multi orientation faults forming  
the barrier



# Perspectives

---

cea

- Augmenter la résolution des MNT
  - Génération à partir d'un couple stéréo THR
- Limiter l'influence de l'aliasing ou utiliser un instrument adapté à double barrettes type SPOT 5 THR
- Compenser les biais basses fréquences (mesures GPS) pour contraindre la source sismique en profondeur
- Étudier un grand nombre de cas